

## Chapitre 3 : Cinématique des robots séries

# Notion de tâche robotique

- Tâche de position : commande point-à-point
  - séquence de points de passage, pick and place, chargement-déchargement, soudage par points ...
- Tâche de trajectoire : commande de suivi de trajectoire
  - contrôle de la vitesse sur la trajectoire, suivi du chemin de référence, peinture par pulvérisation, soudage à l'arc, collage ...
- Tâche d'effort : commande de l'effort appliqué
  - assemblage de précision, ponçage, ébavurage, ...



$${}^0\mathbf{T}_n(\mathbf{x}) = {}^0\mathbf{T}_n(\mathbf{q}) = {}^0\mathbf{T}_1(q_1) {}^1\mathbf{T}_2(q_2) \dots {}^{n-1}\mathbf{T}_n(q_n) \Rightarrow \mathbf{x} = \mathbf{F}(\mathbf{q})$$

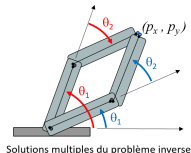
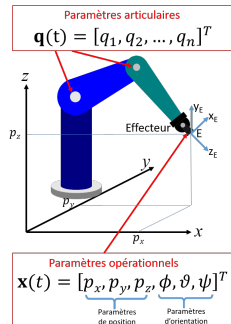
- ## Introduction à la robotique

# Modèle géométrique inverse

- **Objectif** : Trouver les paramètres de liaison qui permettent d'atteindre une pose donnée  $\mathbf{x}$  de l'effecteur
- Pour une pose donnée de l'effecteur ( $\mathbf{x} = [x, y, z, \phi, \vartheta, \psi]^T$ ), trouver les paramètres articulaires  $\mathbf{q} = [q_1, q_2, q_3, q_4, q_5, q_6]^T$

$$\mathbf{q} = \mathbf{F}^{-1}(\mathbf{x})$$

- **Difficulté :**
  - Modèle direct non-linéaire
  - Solution non-explicite, ou non-analytique
  - Existence de plusieurs solutions
  - Robot redondant : infinité de solutions
  - Problème robot-dépendant





# Modèle Cinématique

$$\mathbf{x} = \mathbf{F}(\mathbf{q}) \quad \equiv \quad \begin{cases} p_x = F_1(q_1(t), \dots, q_6(t)) \\ p_y = F_2(q_1(t), \dots, q_6(t)) \\ p_z = F_3(q_1(t), \dots, q_6(t)) \\ \phi = F_4(q_1(t), \dots, q_6(t)) \\ \vartheta = F_5(q_1(t), \dots, q_6(t)) \\ \psi = F_6(q_1(t), \dots, q_6(t)) \end{cases} \xrightarrow{\frac{d}{dt}}$$

$$\begin{pmatrix} \dot{p}_x \\ \dot{p}_y \\ \dot{p}_z \\ \dot{\phi} \\ \dot{\vartheta} \\ \dot{\psi} \end{pmatrix} = \underbrace{\begin{pmatrix} \frac{\partial F_1}{\partial q_1} & \frac{\partial F_1}{\partial q_2} & \frac{\partial F_1}{\partial q_3} & \frac{\partial F_1}{\partial q_4} & \frac{\partial F_1}{\partial q_5} & \frac{\partial F_1}{\partial q_6} \\ \frac{\partial F_2}{\partial q_1} & \frac{\partial F_2}{\partial q_2} & \frac{\partial F_2}{\partial q_3} & \frac{\partial F_2}{\partial q_4} & \frac{\partial F_2}{\partial q_5} & \frac{\partial F_2}{\partial q_6} \\ \frac{\partial F_3}{\partial q_1} & \frac{\partial F_3}{\partial q_2} & \frac{\partial F_3}{\partial q_3} & \frac{\partial F_3}{\partial q_4} & \frac{\partial F_3}{\partial q_5} & \frac{\partial F_3}{\partial q_6} \\ \frac{\partial F_4}{\partial q_1} & \frac{\partial F_4}{\partial q_2} & \frac{\partial F_4}{\partial q_3} & \frac{\partial F_4}{\partial q_4} & \frac{\partial F_4}{\partial q_5} & \frac{\partial F_4}{\partial q_6} \\ \frac{\partial F_5}{\partial q_1} & \frac{\partial F_5}{\partial q_2} & \frac{\partial F_5}{\partial q_3} & \frac{\partial F_5}{\partial q_4} & \frac{\partial F_5}{\partial q_5} & \frac{\partial F_5}{\partial q_6} \\ \frac{\partial F_6}{\partial q_1} & \frac{\partial F_6}{\partial q_2} & \frac{\partial F_6}{\partial q_3} & \frac{\partial F_6}{\partial q_4} & \frac{\partial F_6}{\partial q_5} & \frac{\partial F_6}{\partial q_6} \end{pmatrix}}_{\mathbf{J}(\mathbf{q})} \begin{pmatrix} \dot{q}_1 \\ \dot{q}_2 \\ \dot{q}_3 \\ \dot{q}_4 \\ \dot{q}_5 \\ \dot{q}_6 \end{pmatrix}$$

$\mathbf{J}(\mathbf{q}) = \left[ \frac{\partial \mathbf{F}}{\partial \mathbf{q}} \right]$  Jacobienne de  $\mathbf{F}$  (matrice des dérivées partielles)

$$\begin{cases} \dot{p}_x = \frac{\partial F_1}{\partial q_1} \frac{dq_1}{dt} + \dots + \frac{\partial F_1}{\partial q_6} \frac{dq_6}{dt} \\ \dot{p}_y = \frac{\partial F_2}{\partial q_1} \frac{dq_1}{dt} + \dots + \frac{\partial F_2}{\partial q_6} \frac{dq_6}{dt} \\ \dot{p}_z = \frac{\partial F_3}{\partial q_1} \frac{dq_1}{dt} + \dots + \frac{\partial F_3}{\partial q_6} \frac{dq_6}{dt} \\ \dot{\phi} = \frac{\partial F_4}{\partial q_1} \frac{dq_1}{dt} + \dots + \frac{\partial F_4}{\partial q_6} \frac{dq_6}{dt} \\ \dot{\vartheta} = \frac{\partial F_5}{\partial q_1} \frac{dq_1}{dt} + \dots + \frac{\partial F_5}{\partial q_6} \frac{dq_6}{dt} \\ \dot{\psi} = \frac{\partial F_6}{\partial q_1} \frac{dq_1}{dt} + \dots + \frac{\partial F_6}{\partial q_6} \frac{dq_6}{dt} \end{cases}$$

$$\dot{\mathbf{x}} = \mathbf{J}(\mathbf{q}) \dot{\mathbf{q}}$$

# Matrice Jacobienne

- Reliant les vitesses articulaires aux opérationnelles,  $\mathbf{J}$  peut donner une information importante sur les vitesses nominales et maximales des moteurs à choisir. C'est une matrice de réduction ou de transmission.
- Elle est aussi appelé matrice de sensibilité car permet de connaître la sensibilité au niveau de la sortie connaissant celles des articulations (moteurs+transmission locale)
- La matrice Jacobienne n'est pas constante mais dépend de la configuration  $\mathbf{J}(\mathbf{q})$
- Modèle Cinématique Direct

$$\dot{\mathbf{x}} = \mathbf{J}(\mathbf{q})\dot{\mathbf{q}}$$

- Modèle Cinématique Inverse : Si  $\mathbf{J}(\mathbf{q})$  est Carrée et Inversible

$$\dot{\mathbf{q}} = \mathbf{J}^{-1}(\mathbf{q})\dot{\mathbf{x}}$$



# Jacobienne d'un manipulateur : Interprétation physique

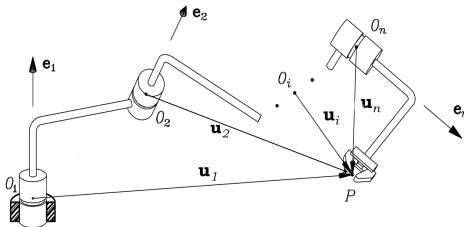
Vitesse angulaire par rapport au bâti des solides 1,2, ..., n :

$$\omega_{1/0} = \dot{\theta}_1 \mathbf{e}_1$$

$$\omega_{2/0} = \dot{\theta}_1 \mathbf{e}_1 + \dot{\theta}_2 \mathbf{e}_2$$

$$\vdots$$

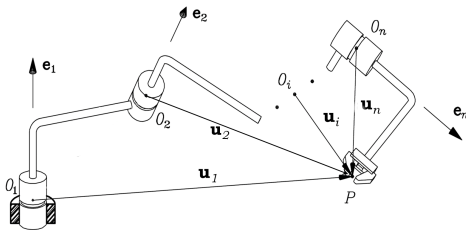
$$\omega_{n/0} = \dot{\theta}_1 \mathbf{e}_1 + \dot{\theta}_2 \mathbf{e}_2 + \dots + \dot{\theta}_n \mathbf{e}_n$$



# Jacobienne d'un manipulateur : Interprétation physique

Vitesse linéaire par rapport au bâti du point P de l'effecteur :

$$\vec{V}(P \in \mathcal{R}_n / \mathcal{R}_0) = \sum_{i=1}^n \vec{V}(P \in \mathcal{R}_i / \mathcal{R}_{i-1})$$



$$\vec{V}(P \in \mathcal{R}_i / \mathcal{R}_{i-1}) = \vec{V}(O_i \in \mathcal{R}_i / \mathcal{R}_{i-1}) + \vec{\omega}(i/i-1) \times \vec{O_i P} = \dot{\theta}_i \mathbf{e}_i \times \mathbf{u}_i$$

# Jacobienne d'un manipulateur à liaisons rotoïdes (R)

$$\begin{bmatrix} \omega_{n/0} \\ \hline \mathbf{V}_{P/0} \end{bmatrix} = \underbrace{\begin{bmatrix} \mathbf{e}_1 & \dots & \mathbf{e}_i & \dots & \mathbf{e}_n \\ - & & - & & - \\ \mathbf{e}_1 \times \mathbf{u}_1 & \dots & \mathbf{e}_i \times \mathbf{u}_i & \dots & \mathbf{e}_n \times \mathbf{u}_n \end{bmatrix}}_{\mathbf{J}_c: \text{Jacobienne cinématique}} \underbrace{\begin{bmatrix} \dot{\theta}_1 \\ \vdots \\ \dot{\theta}_j \\ \vdots \\ \dot{\theta}_n \end{bmatrix}}_{\dot{\mathbf{q}}}$$

- La colonne  $\mathbf{J}_{ci} = \begin{bmatrix} \mathbf{e}_i \\ \mathbf{e}_i \times \mathbf{u}_i \end{bmatrix}$  est le vecteur des coordonnées de Plücker de l'axe  $i$  exprimé au point de l'effecteur P.

# Jacobienne : liaison $j$ de type (P)

Vitesse linéaire et angulaire par rapport au bâti du solide  $n$  :

$$\boldsymbol{\omega}_{n/0} = \dot{\theta}_1 \mathbf{e}_1 + \dots + \dot{q}_j \mathbf{0} + \dots + \dot{\theta}_n \mathbf{e}_n$$

$$\mathbf{V}_{P/0} = \dot{\theta}_1 \mathbf{e}_1 \times \mathbf{u}_1 + \dots + \dot{q}_j \mathbf{e}_j + \dots + \dot{\theta}_n \mathbf{e}_n \times \mathbf{u}_n$$

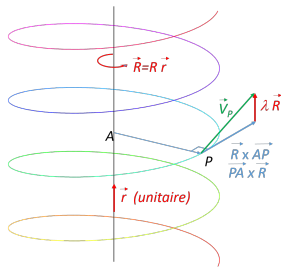
$$\begin{bmatrix} \boldsymbol{\omega}_{n/0} \\ \mathbf{V}_{P/0} \end{bmatrix} = \underbrace{\begin{bmatrix} \mathbf{e}_1 & \dots & \mathbf{0} & \dots & \mathbf{e}_n \\ - & & - & & - \\ \mathbf{e}_1 \times \mathbf{u}_1 & \dots & \mathbf{e}_j & \dots & \mathbf{e}_n \times \mathbf{u}_n \end{bmatrix}}_{\mathbf{J}_c: \text{Jacobienne cinématique}} \underbrace{\begin{bmatrix} \dot{\theta}_1 \\ \vdots \\ \dot{q}_j \\ \vdots \\ \dot{\theta}_n \end{bmatrix}}_{\dot{\mathbf{q}}}$$

- si la liaison  $i$  est de type **Prismatique (P)** la colonne  $\mathbf{J}_{c_i} = \begin{bmatrix} \mathbf{0} \\ \mathbf{e}_i \end{bmatrix}$  et l'angle  $\theta_i(t)$  est à remplacer par le paramètre de liaison  $d_i(t)$

# Jacobienne fonction des torseurs géométriques des liaisons

Rappel la définition d'un torseur :

$$\begin{aligned}
 \{\mathcal{T}\}_P &= \left\{ \begin{array}{c} \vec{R} \\ \lambda \vec{R} + \vec{PA} \times \vec{R} \end{array} \right\}_P \\
 &= \left\{ \begin{array}{c} \vec{R} \\ \vec{PA} \times \vec{R} \end{array} \right\}_P + \left\{ \begin{array}{c} \vec{0} \\ \lambda \vec{R} \end{array} \right\}_P \\
 &= R \left\{ \begin{array}{c} \vec{r} \\ \vec{PA} \times \vec{r} \end{array} \right\}_P + R\lambda \left\{ \begin{array}{c} \vec{0} \\ \vec{r} \end{array} \right\}_P
 \end{aligned}$$



Le torseur cinématique correspond à un vissage d'axe  $(A, \vec{r})$  et de pas  $\lambda$ , qui est la somme d'un glisseur (Mouvement d'une liaison Rotoïde **R**) et d'un torseur Couple (Mouvement d'une liaison Prismatique **P**).

# Jacobienne : Torseur géométrique d'une liaison **R** ou **P**

Pour une liaison Rotoïde **R**, le torseur cinématique  $\{\mathcal{T}\}_P = \dot{q}\$P = \dot{\theta}\$P$ .  
Le torseur géométrique  $\$$  (de type glisseur,  $\lambda = 0$ ) s'écrit

$$\$_0 = \left\{ \begin{array}{c} \vec{r} \\ \vec{r} \times \vec{AP} \end{array} \right\}_P$$

Pour une liaison Prismatique **P**, le torseur cinématique  $\{\mathcal{T}\}_P = \dot{q}\$P = \dot{d}\$P$ . Le torseur géométrique  $\$$  (de type couple,  $\vec{R} = \vec{0}$ ,  $\lambda = \infty$ ) s'écrit

$$\$_\infty = \left\{ \begin{array}{c} \vec{0} \\ \vec{r} \end{array} \right\}_P$$

# Jacobienne cinématique fonction des torseurs géométriques des liaisons

$$\mathbf{J}_c = [\$_1, \$_2, \dots, \$_n]$$

Chaque torseur géométrique  $\$_i$  représente l'axe d'une liaison **R** ou **P** et tous exprimés au point P de l'organe terminal du manipulateur.

## Relations entre les 2 Jacobiennes $\mathbf{J}$ , $\mathbf{J}_c$

Cette relation dépend du paramétrage de l'orientation de l'effecteur.

Si celle-ci est paramétrée par les angles d'Euler de type 3 rotations successives x,y',z'' d'angle  $\phi, \vartheta, \psi$

$${}^0\mathbf{R}_n = \mathbf{R}(\vec{x}, \phi) \mathbf{R}(\vec{y}', \vartheta) \mathbf{R}(\vec{z}'', \psi)$$

$${}^0\mathbf{R}_n = \begin{bmatrix} C_\psi C_\vartheta & -C_\vartheta S_\psi & S_\vartheta \\ C_\phi S_\psi + C_\psi S_\phi S_\vartheta & C_\phi C_\psi - S_\phi S_\psi S_\vartheta & -C_\vartheta S_\phi \\ S_\phi S_\psi - C_\phi C_\psi S_\vartheta & C_\psi S_\phi + C_\phi S_\psi S_\vartheta & C_\phi C_\vartheta \end{bmatrix}$$

La vitesse angulaire de l'organe terminal par rapport au bâti

$$\omega_{n/0} = \dot{\phi} \vec{x}_0 + \dot{\vartheta} \vec{y}'' + \dot{\psi} \vec{z}'' = \omega_x \vec{x}_0 + \omega_y \vec{y}_0 + \omega_z \vec{z}_0$$

après projection dans la base 0

$${}^0\omega_{n/0} = \begin{bmatrix} \dot{\phi} + \dot{\psi} S_\vartheta \\ \dot{\vartheta} C_\phi - \dot{\psi} C_\vartheta S_\phi \\ \dot{\vartheta} S_\phi + \dot{\psi} C_\phi C_\vartheta \end{bmatrix} = \begin{bmatrix} 1 & 0 & S_\vartheta \\ 0 & C_\phi & -C_\vartheta S_\phi \\ 0 & S_\phi & C_\phi C_\vartheta \end{bmatrix} \begin{bmatrix} \dot{\phi} \\ \dot{\vartheta} \\ \dot{\psi} \end{bmatrix} = \mathbf{N}(\mathbf{x}) \begin{bmatrix} \dot{\phi} \\ \dot{\vartheta} \\ \dot{\psi} \end{bmatrix}$$



## Relations entre $\mathbf{J}$ , $\mathbf{J}_c$

Si  $\vartheta \neq \pm\pi/2$ ,  $\mathbf{N}$  est inversible et on peut écrire

$$\dot{\mathbf{x}} = \begin{bmatrix} \dot{p}_x \\ \dot{p}_y \\ \dot{p}_z \\ \dot{\phi} \\ \dot{\vartheta} \\ \dot{\psi} \end{bmatrix} = \begin{bmatrix} \mathbf{0} & \mathbf{1}_3 \\ \mathbf{N}^{-1}(\mathbf{x}) & \mathbf{0} \end{bmatrix} \begin{bmatrix} {}^0\boldsymbol{\omega}_{n/0} \\ {}^0\mathbf{V}_{P/0} \end{bmatrix}$$

Relation entre la Jacobienne  $\mathbf{J}$  et la Jacobienne cinématique  $\mathbf{J}_c$

$$\mathbf{J} = \begin{bmatrix} \mathbf{0} & \mathbf{1}_3 \\ \mathbf{N}^{-1}(\mathbf{x}) & \mathbf{0} \end{bmatrix} \mathbf{J}_c$$

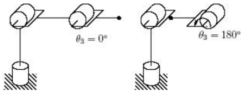
# Modèle cinématique Inverse MCI

$$\boxed{\dot{\mathbf{x}} = \mathbf{J}(\mathbf{q})\dot{\mathbf{q}}} \quad \Longrightarrow \quad \boxed{\dot{\mathbf{q}} = \mathbf{J}^{-1}\dot{\mathbf{x}}}$$

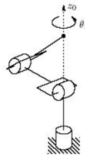
- Linéarité entre les vitesses articulaires et vitesses opérationnelles,
- $\mathbf{J}^{-1}$  existe si  $\det(\mathbf{J}) \neq 0$ ,
- Le déterminant de la matrice ne change pas avec le choix du point de l'effecteur,
- $\mathbf{J}$  permet la projection des forces entre les deux espaces articulaires et outil,
- $\mathbf{J}$  permet de connaître et de maîtriser les singularités du robot
- $\mathbf{J}$  est en général déterminée avec les torseurs géométriques des axes et non avec les dérivées partielles
- $\mathbf{J}$  Permet d'inverser numériquement le modèle géométrique directe (ie. par l'utilisation de la méthode de Newton-Raphson) pour obtenir le modèle géométrique inverse (ou vice-versa) .

# Singularités de la Jacobienne du 6R antropomorphe

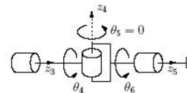
Singularité :  $\det(\mathbf{J}) = 0$



Singularité du Coude



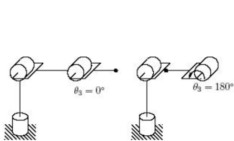
Singularité de la taille



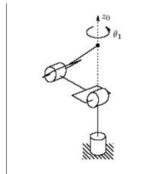
Singularité du poignée

- A la position singulière, le robot perd un (ou plusieurs) degrés de liberté
- La transformation de coordonnées inverse possède parfois un nombre infini de solutions.
- A proximité d'une singularité, de petites vitesses dans l'espace cartésien peuvent conduire à de très grandes vitesses dans les articulations donc des instabilités.

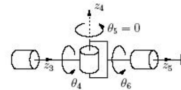
## Singularités du robot anthropomorphe



Singularité du Coude

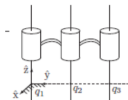
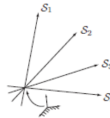
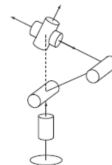


Singularité de la taille



Singularité du poignée

## Autres types de singularités

3 axes de liaisons  
rotoïde coplanaires4 axes de liaisons  
rotoïdes concourants

# Inversion numérique de la Jacobienne

Pour éviter les éventuelles instabilités dues aux singularités, il vaut mieux vérifier d'abord le conditionnement de  $\mathbf{J}$ .

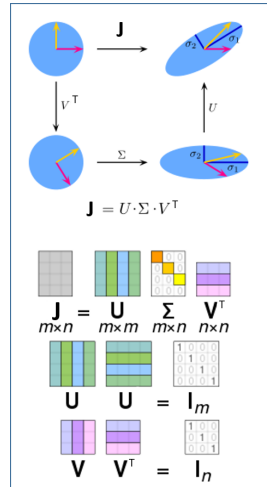
$$\text{cond}(\mathbf{J}) = \frac{\sigma_{\max}}{\sigma_{\min}}$$

$\sigma_{\max}, \sigma_{\min}$  les valeurs singulières max et min de  $\mathbf{J}$ , équivalents aux valeurs propres quand la matrice est carrée.

Décomposition SVD (Singular Value Decomposition) d'une matrice quelconque

$$\mathbf{J}_{(m,n)} = \mathbf{U}_{(m,m)} \mathbf{\Sigma}_{(m,n)} \mathbf{V}_{(n,n)}^T$$

- $\mathbf{U}_{(m,m)}$  et  $\mathbf{V}_{(n,n)}$  orthogonale (déterminant égal à 1)
- $\mathbf{\Sigma}_{(m,n)}$  matrice contenant les valeurs singulières  $\sigma_1, \dots, \sigma_r$  ( $r = \min(m, n)$ )



# Inversion numérique de la Jacobienne

$$\mathbf{J}_{(n,m)}^{-1} = \mathbf{V}_{(n,n)} \mathbf{\Sigma}_{(n,m)}^+ \mathbf{U}_{(m,m)}^T$$

$$\mathbf{\Sigma}_{(n,m)}^+ = \text{diag}\left(\frac{1}{\sigma_1}, \dots, \frac{1}{\sigma_r}\right).$$

Si une valeur singulière  $\sigma_i$  est nulle, une méthode (dite de damping) consiste à régulariser

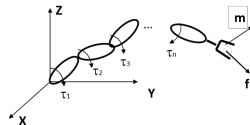
$$\frac{1}{\sigma_i} \rightarrow \frac{\sigma_i}{\sigma_i^2 + \lambda^2}$$

avec  $\lambda$  (facteur d'amortissement) choisi assez petit devant  $\sigma_i$

# Analyse statique des manipulateurs

On considère le manipulateur en équilibre statique, sous l'effet des couples actionneurs  $\boldsymbol{\tau} = [\tau_1, \dots, \tau_n]^T$  et des efforts d'interaction avec l'environnement au niveau de l'effecteur. On note  $\mathcal{F} = [\mathbf{f}^T, \mathbf{m}^T]^T$  le torseur des actions mécaniques de l'environnement sur le robot (exprimé au point  $E$  de l'effecteur),

- $\mathbf{f}$  étant la force résultante
- $\mathbf{m}$  étant le moment des efforts exprimé en  $E$



On montre que le travail virtuel des ces efforts d'interaction s'écrit  $\tilde{\mathcal{F}}^T \delta \boldsymbol{\xi}$ , où  $\delta \boldsymbol{\xi}$  est le torseur de déplacement virtuel (en rotation et en translation) de l'effecteur par rapport à l'environnement.

Le travail total s'écrit

$$\delta W = \boldsymbol{\tau}^T \delta \mathbf{q} + \tilde{\mathcal{F}}^T \delta \boldsymbol{\xi}$$

$\tilde{\mathcal{F}} = \begin{bmatrix} \mathbf{m} \\ \mathbf{f} \end{bmatrix}$  le torseur d'effort commuté (la commutation provient du produit croisé du comoment de 2 torseurs).

# Transmission de forces

Sachant  $\delta \xi = \mathbf{J}_c \delta \mathbf{q}$ , et comme le travail total est nulle  $\forall \mathbf{q}$ , alors on obtient le modèle de transmission de forces

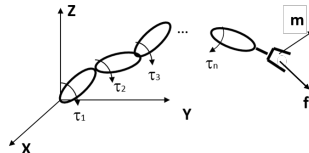
$$\boldsymbol{\tau} = -\mathbf{J}_c^T \tilde{\mathcal{F}} = \mathbf{J}_c^T \tilde{\mathcal{F}}'$$

$\mathcal{F}'$  : Torseur d'effort que crée le robot sur l'environnement.

Si de plus on considère le poids propre des segments du robot, alors on obtient le modèle statique du manipulateur

$$\boldsymbol{\tau} = \mathbf{J}_c^T \tilde{\mathcal{F}}' + \left( \frac{\partial E_p}{\partial \mathbf{q}} \right)^T$$

où  $E_p$  est l'énergie potentielle de gravité.

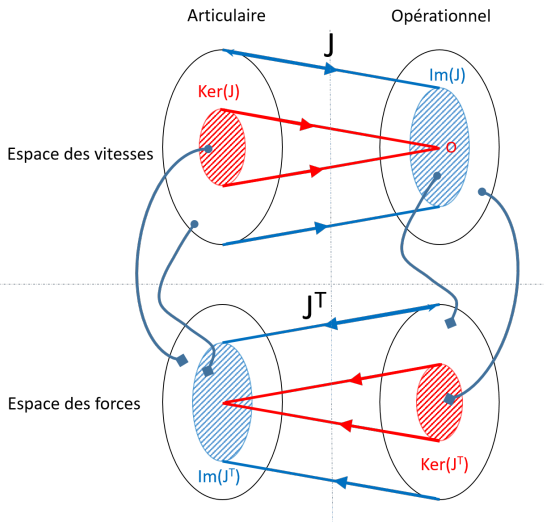


$$E_p = \sum_{i=1}^{N_c} m_i g (z_{cdg})_i$$

- $-g\vec{z}$  est l'accélération de la pesanteur
- $m_i$  masse du corps  $i$
- $(z_{cdg})_i$  hauteur de son centre de gravité



# Interprétation Jacobienne/Dualité cinémato-statique



# Ellipsoïde de manipulabilité

Si on suppose que  $\dot{\mathbf{q}}^T \dot{\mathbf{q}} \leq 1$  (norme du vecteur vitesse articulaire incluse dans la sphère unité) alors

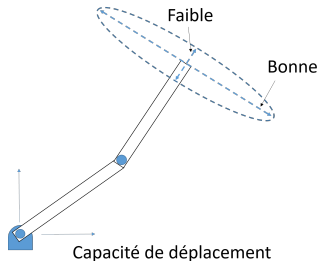
$$(\mathbf{J}^{-1} \dot{\mathbf{x}})^T \mathbf{J}^{-1} \dot{\mathbf{x}} \leq 1$$

En s'aidant de la SVD

$$\dot{\mathbf{x}}^T (\mathbf{U} \mathbf{\Sigma}^{-2} \mathbf{U}^T) \dot{\mathbf{x}} \leq 1$$

C'est l'équation d'une ellipsoïde de demi-axes  $\sigma_i$  (valeurs singulières de  $\mathbf{J}$ ) et d'axes principaux les colonnes de  $\mathbf{U}$ .

C'est l'espace des vitesses opérationnelles faisables.



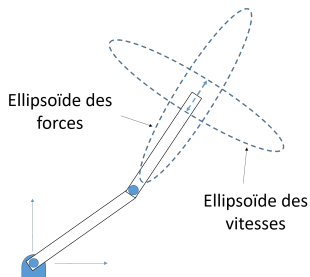
L'indice de manipulabilité de Yoshikawa est défini par le volume de l'ellipsoïde  $\sqrt{\det(\mathbf{J}\mathbf{J}^T)}$ .

Une autre méthode propose le conditionnement de la Jacobienne  $\frac{\sigma_{\max}}{\sigma_{\min}}$ .

# Ellipsoïdes de transmission des vitesses et des efforts

Idem si on part de  $\boldsymbol{\tau}^T \boldsymbol{\tau} \leq 1$  (norme du vecteur effort articulaire incluse dans la sphère unité), on peut définir l'ellipsoïde de la transmission d'effort.

- On peut appliquer la force opérationnelle maximale suivant la direction de la vitesse op. minimale.
- La vitesse opérationnelle est maximale suivant la direction de l'effort op. minimal.



# Cas des robots redondants : Solution de moindré carrée

Si  $\mathbf{J}$  n'est pas carrée, cas des robots redondants, c-à-d plus de liaisons que de paramètres de tâche, il y a une infinité de solutions pour réaliser la tâche.

La solution de moindré carrée qui minimise  $\|\dot{\mathbf{q}}\|^2 = \dot{\mathbf{q}}^T \dot{\mathbf{q}}$

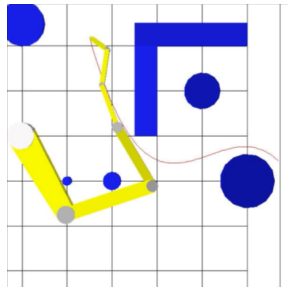
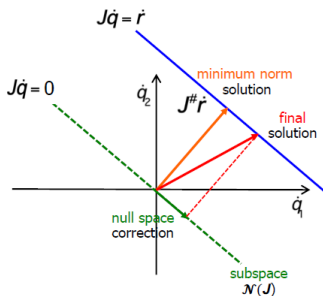
$$\dot{\mathbf{q}} = \underbrace{\mathbf{J}^T [\mathbf{J}\mathbf{J}^T]^{-1}}_{\mathbf{J}^\#} \dot{\mathbf{x}}$$

- $\mathbf{J}^\#$  est appelée pseudo-inverse (Inverse Généralisé de Moore-Penrose) (pinv avec Matlab)
- $\mathbf{J}^\#$  existe si  $\det(\mathbf{J}\mathbf{J}^T) \neq 0$ , c-à-d  $\mathbf{J}$  de rang plein

# Cas des robots redondants : correction dans l'espace nul

## ■ Solution générale

$$\dot{\mathbf{q}} = \mathbf{J}^\# \dot{\mathbf{x}} + (\mathbf{I} - \mathbf{J}^\# \mathbf{J}) \dot{\mathbf{q}}_0 = \mathbf{J}^\# \dot{\mathbf{x}} + (\mathbf{I} - \mathbf{J}^\# \mathbf{J}) \nabla_{\mathbf{q}}(\Phi)$$



$\dot{\mathbf{q}}_0$  peut être choisi pour optimiser un critère secondaire  $\Phi(\mathbf{q})$  : par ex. éviter des obstacles, s'éloigner des butées articulaires, optimiser la manipulabilité ...